

Impact Factor:

ISRA (India) = 4.971
ISI (Dubai, UAE) = 0.829
GIF (Australia) = 0.564
JIF = 1.500

SIS (USA) = 0.912
PIIHQ (Russia) = 0.126
ESJI (KZ) = 8.716
SJIF (Morocco) = 5.667

ICV (Poland) = 6.630
PIF (India) = 1.940
IBI (India) = 4.260
OAJI (USA) = 0.350

SOI: [1.1/TAS](#) DOI: [10.15863/TAS](#)

International Scientific Journal Theoretical & Applied Science

p-ISSN: 2308-4944 (print) e-ISSN: 2409-0085 (online)

Year: 2020 Issue: 05 Volume: 85

Published: 17.05.2020 <http://T-Science.org>

QR – Issue



QR – Article



E.E. Duisembiev

Taraz State Pedagogical University
Candidate of Technical Sciences

K.S. Tattibekov

Taraz State Pedagogical University
Candidate of Physical and Mathematical Sciences,
Associate Professor.
Taraz, Republic of Kazakhstan

STATIONARY ABSOLUTE MOTION OF A RIGID BODY IN A HIGH-FREQUENCY ROTATIONAL MAGNETIC FIELD

Abstract: The paper studies the stationary motion of a conducting absolutely solid body (gyroscope rotor) under the action of a moment caused by eddy currents arising in the body when interacting with an external homogeneous rotating magnetic field, and the moment of dissipative forces arising from the contact of the body with a resisting medium.

Key words: absolutely solid body, high-frequency magnetic field, non-contact gyroscope, gyroscope rotor, kinetic moment, moment of dissipative forces, ellipsoid of inertia.

Language: Russian

Citation: Duisembiev, E. E., & Tattibekov, K. S. (2020). Stationary absolute motion of a rigid body in a high-frequency rotational magnetic field. *ISJ Theoretical & Applied Science*, 05 (85), 136-139.

Soi: <http://s-o-i.org/1.1/TAS-05-85-28> **Doi:** [crossref https://dx.doi.org/10.15863/TAS.2020.05.85.28](https://dx.doi.org/10.15863/TAS.2020.05.85.28)

Scopus ASCC: 2610.

СТАЦИОНАРНОЕ ДВИЖЕНИЕ АБСОЛЮТНОГО ТВЕРДОГО ТЕЛА В ВЫСОКОЧАСТОТНОМ ВРАЩАТЕЛЬНОМ МАГНИТНОМ ПОЛЕ

Аннотация: В работе исследуется стационарное движение проводящего абсолютно твердого тела (ротора гироскопа) под действием момента, вызванного вихревыми токами, возникающими в теле при взаимодействии с внешним однородным вращающимся магнитным полем, и момента диссипативных сил, возникающего от контакта тела с сопротивляющейся средой.

Ключевые слова: абсолютно твердое тело, высокочастотное магнитное поле, неконтактный гироскоп, ротор гироскопа, кинетический момент, момент диссипативных сил, эллипсоид инерции.

Введение

UDC 681.38(62-251)

Рассмотрим вопрос об устойчивости по отношению к переменным δ, L, ϑ найденных стационарных движений ротора неконтактного гироскопа, соответствующих особым точкам [9]:

$$\sin \vartheta_0 = 0, \quad L_0 = \frac{a\sqrt{2} e_1^1 I_3}{2n_3 - b\sqrt{2} e_1^1} \quad (1)$$

$$\cos \vartheta_0 = 0, \quad L_0 = \frac{a\sqrt{2} (e_3^1 + e_1^1) I_1}{4n_1 - b\sqrt{2} (e_3^1 + e_1^1)} \quad (2)$$

$$\sin^2 \vartheta = A/B, \quad L_0 = -C/D \quad (3)$$

где

$$A = (4n_3(e_3^1 + e_1^1) - 2b\sqrt{2}e_3^1e_1^1)I_1 - (8n_1e_1^1 - 2b\sqrt{2}e_3^1e_1^1)I_3,$$

$$B = b\sqrt{2}e_1^1(e_3^1 - e_1^1)(I_3 - I_1),$$

$$C = a\sqrt{2}(e_3^1 - e_1^1)I_1I_3,$$

$$D = 4(n_3I_1 - n_1I_3) + b\sqrt{2}(e_3^1I_3 - e_1^1I_1).$$

где

$$a = \Gamma(0.5)\varepsilon_0/\sqrt{\pi}/\sqrt{\omega}, \quad b = \Gamma(1.5)\varepsilon_0/\sqrt{\pi}/\omega^{3/2},$$

Γ - гамма функция, $\varepsilon_0 = c/\sqrt{4\pi\lambda_0\mu}$ - малый параметр при решении соответствующей

Impact Factor:

ISRA (India) = 4.971
 ISI (Dubai, UAE) = 0.829
 GIF (Australia) = 0.564
 JIF = 1.500

SIS (USA) = 0.912
 ПИИЦ (Russia) = 0.126
 ESJI (KZ) = 8.716
 SJIF (Morocco) = 5.667

ICV (Poland) = 6.630
 PIF (India) = 1.940
 IBI (India) = 4.260
 OAJI (USA) = 0.350

электродинамической задачи, ω - угловая скорость вращения вектора напряженности магнитного поля [2].

Предположим, что момент диссипативных сил является линейной функцией угловой скорости тела и в проекциях на оси трехгранника x имеет вид [4]

$$\bar{M}_x = -N\bar{\Omega}_x \quad (4)$$

где $N = \text{diag}\{n_1, n_2, n_3\}$ - диагональная матрица с положительными элементами, стоящими на главной диагонали, $\bar{\Omega}$ - угловая скорость твердого тела.

Числа n_i ($i = 1, 3$) постоянны в системе координат, жестко связанной с телом, и в общем случае $n_1 \neq n_3$.

Здесь и в дальнейшем предполагается $a \ll n_1, n_3 \sim b$.

Соответствующие движения ротора неконтактного гироскопа в зависимости от положения его оси симметрии x_3 назовем в случае (1) вращением вокруг полярной оси, в случае (2) - вращением вокруг экваториальной оси, а в случае (3) - регулярной прецессией (рис.1) [1].

За возмущениями будем сохранять обозначения самих переменных.

Здесь введено два правых ортогональных трехгранника с началом в центре масс 0: неподвижный трехгранник $0\xi_1\xi_2\xi_3$ и система координат $0x_1x_2x_3$ жестко связанная с твердым телом. Оси трехгранника x направлены по главным центральным осям инерции тела. Ось x_3 направлена по оси симметрии тела [7].

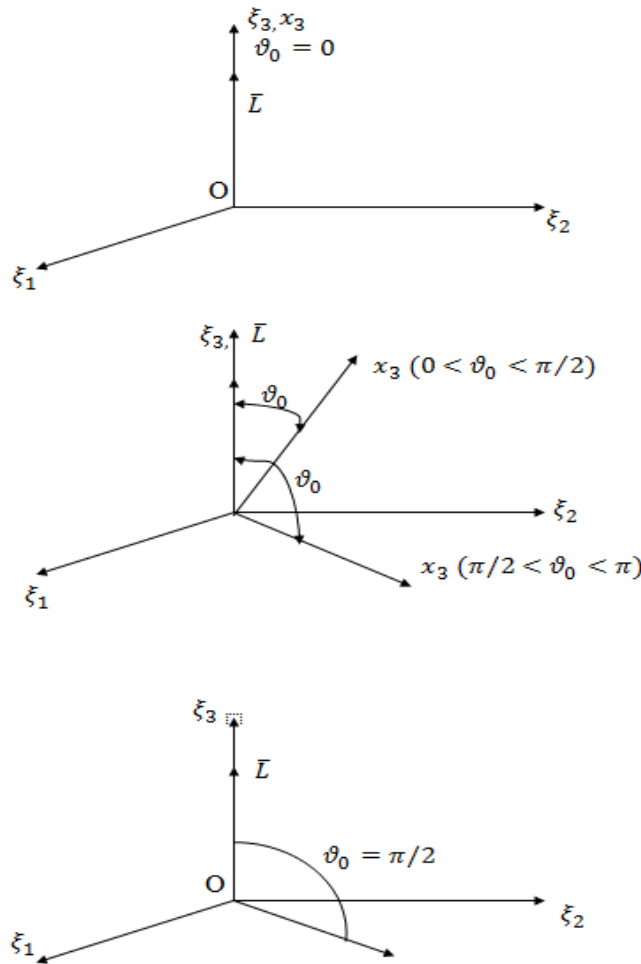


Рисунок 1. Возможные расположения оси x_3

Система в вариациях, отвечающая вращению (1) вокруг полярной оси ротора, имеет вид

$$\begin{aligned} \dot{\delta} &= -W\delta \\ \dot{L} &= GL \end{aligned} \quad (5)$$

$$\dot{\vartheta} = H\vartheta$$

где

$$\begin{aligned} W &= 2be_1^1\sqrt{2}/(8I_3) + 2a\sqrt{2}(e_3^1 + e_1^1)/(8L_0) > 0 \\ G &= (be_1^1\sqrt{2} - 2n_3)/(2I_3), \end{aligned}$$

Impact Factor:

ISRA (India) = 4.971
 ISI (Dubai, UAE) = 0.829
 GIF (Australia) = 0.564
 JIF = 1.500

SIS (USA) = 0.912
 ПИИЦ (Russia) = 0.126
 ESJI (KZ) = 8.716
 SJIF (Morocco) = 5.667

ICV (Poland) = 6.630
 PIF (India) = 1.940
 IBI (India) = 4.260
 OAJI (USA) = 0.350

$$H = \frac{n_3}{I_3} - \frac{n_1}{I_1} + \frac{a\sqrt{2}(e_3^1 - e_1^1)}{(4L_0)} + b\sqrt{2}(e_3^1 I_3 - e_1^1 I_1)/(4I_3 I_1)$$

Условия отрицательности вещественных частей корней характеристического многочлена для системы (5) сводятся к неравенствам

$$W > 0, \quad H < 0, \quad G < 0 \quad (6)$$

Первое неравенство в (6) выполняется тождественно. С учетом положительности модуля кинетического момента L_0 , второе и третье неравенства в (6) в развернутом виде эквивалентны следующей системе неравенств

$$n_3 > be_1^1 \sqrt{2}/2, \quad n_1 = be_3^1 \sqrt{2}/2 \quad (7)$$

$$I_3/I_1 > \{2n_3(e_3^1 + e_1^1) - b\sqrt{2}e_3^1 e_1^1\} / \{4n_1 e_1^1 - b\sqrt{2}e_3^1 e_1^1\}$$

являющихся условиями устойчивости вращения вокруг полярной оси совмещенной с осью ξ_3 .

В частности, при шаровом тензоре поляризуемости и $n_1 = n_2 = n_3$, неравенство (7) принимает более простой вид

$$I_3/I_1 > 1.$$

Последнее соотношение означает, что тело со сплюснутым эллипсоидом инерции устойчиво вращается вокруг оси, совмещенной с осью вращения магнитного поля.

Отметим, что полученные условия устойчивости, с точностью до величин порядка ω^{-2} совпадают с условиями, полученными в работе [2].

Система в вариациях, отвечающая вращению ротора гироскопа вокруг экваториальной оси, имеет вид

$$\begin{aligned} \dot{\delta} &= -V\delta \\ \dot{L} &= PL \\ \dot{\vartheta} &= -H\vartheta \end{aligned} \quad (8)$$

где

$$V = b\sqrt{2}(e_3^1 + e_1^1)/(8I_1) + a\sqrt{2}(e_3^1 + 3e_1^1)/(8L_0) > 0,$$

$$P = (b\sqrt{2}(e_3^1 + e_1^1) - 4n_1)/(4I_1).$$

Условия отрицательности вещественных частей корней характеристического многочлена для данной системы сводятся к неравенствам

$$W_2 > 0, \quad P < 0, \quad H > 0 \quad (9)$$

Первое неравенство в (2.26) выполняется тождественно. С учетом положительности модуля кинетического момента L_0 , второе и третье неравенства в (9) в развернутом виде эквивалентны следующей системе неравенств

$$n_3 > \frac{b\sqrt{2}e_1^1}{4}, \quad n_1 > \frac{b\sqrt{2}(e_3^1 + e_1^1)}{4} \quad (10)$$

$$I_3/I_1 < [4n_3 - b\sqrt{2}e_1^1](e_3^1 + e_1^1) / [8n_1 e_1^1 - b\sqrt{2}e_1^1(e_3^1 + e_1^1)]$$

являющихся условиями устойчивости вращения вокруг экваториальной оси.

Система в вариациях, построенная в малой окрестности регулярной прецессии (3), имеет вид

$$\begin{aligned} \dot{\delta} &= -E\delta, \\ \dot{L} &= ML + F\vartheta \sin 2\vartheta_0, \\ \dot{\vartheta} &= Q \sin(2\vartheta_0)L \end{aligned} \quad (11)$$

где,

$$M = \left\{ (n_3/I_3 - n_1/I_1) + \frac{b\sqrt{2}}{4} ((e_3^1 + e_1^1)/I_1 - 2e_1^1/I_3) \right\} \sin^2 \vartheta_0 + (b\sqrt{2}e_1^1 - 2n_3)/(2I_3),$$

$$E = \frac{a\sqrt{2}(e_3^1 + e_1^1)}{4L_0} - \frac{a\sqrt{2}(e_3^1 - e_1^1)}{8L_0} \sin^2 \vartheta_0 + b\sqrt{2}((e_3^1 + e_1^1)/I_1 - 2e_1^1/I_3) \sin^2 \vartheta_0 + b\sqrt{2}e_1^1/(4I_3),$$

$$Q = [4(n_3/I_1 - n_1/I_3) + b\sqrt{2}(e_3^1/I_3 - e_1^1/I_1)] / (8I_3 I_1 L_0),$$

$$F = a\sqrt{2}(e_3^1 - e_1^1)/4 + (n_3/I_3 - n_1/I_1)L_0 + b\sqrt{2}((e_3^1 + e_1^1)/I_1 - 2e_1^1/I_3)/4.$$

Выписывая характеристическое уравнение для системы линейных дифференциальных уравнений (11), получим

$$(\lambda + E)(\lambda^2 - M\lambda - QF \sin^2 2\vartheta_0) = 0 \quad (12)$$

Корни многочлена (12) будут иметь отрицательные вещественные части тогда и только тогда, когда выполнены требования

$$E > 0, \quad M < 0, \quad QF < 0 \quad (13)$$

Система (13) в развернутом виде имеет вид: если $I_3 > I_1$, то при

$$n_3 > \frac{b\sqrt{2}e_1^1}{2}, \quad n_1 > \frac{b\sqrt{2}(e_3^1 + e_1^1)}{4}$$

$$L_1(n) < \frac{I_3}{I_1} < L_2(n); \quad (14)$$

$$n_3 < \frac{b\sqrt{2}e_1^1}{2}, \quad n_1 < \frac{b\sqrt{2}e_3^1}{4}$$

$$L_2(n) < \frac{I_3}{I_1} < L_1(n)$$

если $I_3 < I_1$, то при

$$n_3 > \frac{b\sqrt{2}e_1^1}{2}, \quad n_1 > \frac{b\sqrt{2}(e_3^1 + e_1^1)}{4}$$

$$L_2(n) < \frac{I_3}{I_1} < L_1(n); \quad (15)$$

$$n_3 < \frac{b\sqrt{2}e_1^1}{2}, \quad n_1 < \frac{b\sqrt{2}e_3^1}{4}$$

$$L_1(n) < \frac{I_3}{I_1} < L_2(n)$$

где

$$L_2(n) = [2n_3 - b\sqrt{2}e_1^1](e_3^1 + e_1^1) / [4n_1 e_1^1 - b\sqrt{2}e_1^1(e_3^1 + e_1^1)]$$

Impact Factor:

ISRA (India) = 4.971
ISI (Dubai, UAE) = 0.829
GIF (Australia) = 0.564
JIF = 1.500

SIS (USA) = 0.912
РИИЦ (Russia) = 0.126
ESJI (KZ) = 8.716
SJIF (Morocco) = 5.667

ICV (Poland) = 6.630
PIF (India) = 1.940
IBI (India) = 4.260
OAJI (USA) = 0.350

Учитывая условия положительности модуля кинетического момента и условия (14) и (15), получим условия устойчивости регулярной прецессии в следующем виде:
при

$$e_3^1 > e_1^1, \quad n_3 > \frac{b\sqrt{2}e_1^1}{2},$$

и

$$n_1 > \frac{b\sqrt{2}(e_3^1 + e_1^1)}{4}, \quad \frac{n_1}{n_3} < \frac{(e_3^1 + e_1^1)}{2e_1^1}$$

при

$$e_3^1 < e_1^1, \quad n_3 > \frac{b\sqrt{2}e_1^1}{2},$$
$$n_1 > \frac{b\sqrt{2}(e_3^1 + e_1^1)}{4}, \quad \frac{n_1}{n_3} > \frac{(e_3^1 + e_1^1)}{2e_1^1}$$
$$J_1(n) < I_3/I_1 < J_2(n) \quad (16)$$

Полученные соотношения (7), (10) и (16), отражающие условия устойчивости стационарных вращений и регулярной прецессии, удобно представить в следующем безразмерном виде.

Введем параметр $\rho = e_3^1/e_1^1$ - отношение коэффициентов поляризуемости ротора,

$$N_1 = \frac{n_1}{b\sqrt{2}e_1^1}, \quad N_3 = \frac{n_3}{b\sqrt{2}e_1^1},$$

нормированные коэффициенты сопротивления, характеризующие вязкость окружающей среды, тогда имеем:

условия устойчивости стационарного вращения вокруг полярной оси

$$N_3 > \frac{1}{2}, \quad N_1 > \frac{\rho}{4} \quad (17)$$
$$\frac{I_3}{I_1} > J_2(N)$$

условия устойчивости стационарного вращения вокруг экваториальной оси

$$N_3 > \frac{1}{2}, \quad N_1 > \frac{\rho}{4} \quad (18)$$
$$\frac{I_3}{I_1} > J_2(N)$$

условия устойчивости регулярной прецессии при

$$0 < \rho < 1, \quad N_3 > \frac{1}{2},$$
$$N_1 > \frac{\rho + 1}{4}, \quad \frac{N_1}{N_3} > \frac{\rho + 1}{2},$$

и при

$$\rho > 1, \quad N_3 > \frac{1}{2}, \quad (19)$$
$$N_1 > \frac{\rho + 1}{4}, \quad \frac{N_1}{N_3} < \frac{\rho + 1}{2},$$
$$J_1(n) < I_3/I_1 < J_2(n)$$

где

$$J_1(n) = \frac{(4N_3 - 1)(\rho + 1)}{8N_1 - (\rho + 1)}, \quad J_2(n) = \frac{(2N_3)(\rho + 1) - \rho}{4N_1 - \rho}.$$

References:

1. Ishlinski, A.Y., Borzov, V.I., & Stepanenko, I.P. (1983). *Lektsii po teorii giroskopov*. (p.187). Moscow: Nauka.
2. Martynenko, Y.G. (1988). *Dvizhenie tverdogo tela v elektricheskikh i magnitnykh poliah*. (p.368). Moscow: Nauka.
3. Kobrin, A.I. (1985). Asimptoticheskoe reshenie zadachi o dvizhenii tverdogo tela v magnitnom pole. *Differentsialnye uravneniya*, №10, pp.1808-1811.
4. Kobrin, A.I., & Martynenko, Y.G. (1981). Dvizhenie provodyashogo tverdogo tela okolo centra mass v medlenno izmenyaushemsya magnitnom pole. *DAN SSSR*, T.261, №5, pp. 1070-1073.
5. Novojilov, I.V. (1980). *Priblizhennye metody issledovaniya dinamicheskikh sistem*. Konspekt lektsii. (p.48). Moscow: MEI.
6. Delektorskii, B.A., et al. (2016). Razrabotka i issledovaniya giroskopicheskikh gisteretiznykh elektropivodov. *Vestnik MEI*, №4, pp.29-37.
7. Medvedev, A.V. (1984). *Dinamika nesbalansirovannogo giroskopa s nekontaktnym podvesom*: Diss.kand.fiz.-m.nauk. (p.107). Moscow: MGU.
8. Duisembiev, E.E., & Tattibekov, K.S. (2018). Giroskop rotornyñ joğary jilikti amalmary magnit órisindegi qozğalysy. *Mehanika i tehnologu*, №2(60), pp.150-157.
9. Duisembiev, E.E. (2019). Dvizhenie provodyaego tverdogo tela v soprotivlyaushetsya srede pri maloi glubine proniknoveniya polya v provodnik. *Mehanika i tehnologu*, №2(64), pp.43-49.
10. Duisembiev, E.E. (1993). *Uravnenia dvizhenia tverdogo tela v vysokochastotnom pulsiruyushem magnitnom pole*. Materialy regionalnoi nauchno-metodicheskoi konferentsii. «Problemy vysshego obrazovaniya v novykh socialno ekonomicheskikh usloviyah», (pp.56-60). Karatau.